

**ИЗМЕНЕНИЕ НАДМОЛЕКУЛЯРНОЙ СТРУКТУРЫ ИСКОПАЕМЫХ УГЛЕЙ ПРИ АКТИВАЦИИ ГИДРОКСИДОМ КАЛИЯ**

© \*Ю.В. Тамаркина<sup>1</sup>, В.А. Саберова<sup>2</sup>; Р.Д. Мысык<sup>3</sup>, В.А. Кучеренко<sup>4</sup>

Институт физико-органической химии и углехимии им. Л.М. Литвиненко НАН Украины, 02160, г. Киев, ул. Харьковское Шоссе, 50, Украина

<sup>1</sup> Тамаркина Юлия Владимировна, канд. хим. наук, с.н.с., ст. научн. сотр. отдела химии угля (ОХУ), e-mail: [Tamarkina@nas.gov.ua](mailto:Tamarkina@nas.gov.ua)

<sup>2</sup> Саберова Виктория Александровна, ведущий инженер ОХУ, e-mail: [TSaberova@nas.gov.ua](mailto:TSaberova@nas.gov.ua)

<sup>3</sup> Мысык Роман Дмитриевич, канд. хим. наук, с.н.с., ст. научн. сотр. отдела химии угля, e-mail: [Rmisyk@gmail.com](mailto:Rmisyk@gmail.com)

<sup>4</sup> Кучеренко Владимир Александрович, докт. хим. наук, с.н.с., заведующий ОХУ, e-mail: [V.O.Kucherenko@nas.gov.ua](mailto:V.O.Kucherenko@nas.gov.ua)

Щелочную обработку углей выполняли импрегнированием при одинаковом соотношении KOH/уголь (1 г/г). Активированные угля (АУ) получены в атмосфере аргона термопрограммируемым нагреванием (4 град./мин) до 800 °C, изотермической выдержкой 1 ч, охлаждением, отмыvkой от щелочи и сушикой. Определены выходы (29,0–82,8 %) и величины удельной поверхности АУ (323–1547 м<sup>2</sup>/г). Получены дифрактограммы (дифрактометр Bruker D8) исходных углей и АУ. Они разделены деконволюцией на гауссианы, соответствующие γ-полосе и рефлексам (002) и (100).

Определены параметры надмолекулярного строения агрегатов внутрикаркасных поликарбоновых фрагментов – кристаллитов: межслоевое расстояние  $d_{002}$ , высота  $L_c$ , диаметр  $L_a$ , объем  $V_{\text{cp}}$ , число поликарбоновых слоев  $N=(L_c/d_{002})+1$  и интенсивность  $I_{002}$  рефлекса (002). Сопоставлением этих характеристик для углей и АУ оценены изменения надмолекулярной структуры при щелочной активации. Установлено, что при превращении угля в АУ расстояние  $d_{002}$  в кристаллитах растет (на 5–13 %), а высота кристаллитов  $L_c$  уменьшается (на 6–32 %) вследствие того, что KOH затрудняет надмолекулярное структурирование. Для АУ зависимость  $d_{002}$  от  $C^{\text{daf}}$  показывает плато при  $C^{\text{daf}}=8\text{--}90\%$  ( $d_{002}=0,430\pm0,006$  нм) и резкое снижение в области  $C^{\text{daf}}=90,0\text{--}95,6\%$ . Зависимость  $L_c$  от  $C^{\text{daf}}$  характеризуется снижением  $L_c$  в интервале  $C^{\text{daf}}=70\text{--}83\%$  и последующим ростом при переходе к антрацитам. В условиях щелочной активации (совместного действия тепла и KOH) формируются кристаллиты АУ, которые более пространственно разупорядочены по сравнению с кристаллитами углей. Степень разупорядочения при трансформации угля в АУ предложено оценивать параметром  $\Delta d_{002}$  – отношением разности межслоевых расстояний АУ и угля к величине  $d_{002}$  угля. Он экстремально зависит от СМ: снижается при переходе от бурого угля к каменным (с ростом  $C^{\text{daf}}$  от 70 до 80 %), возрастает до максимума у углей с  $C^{\text{daf}}=90\pm1\%$  и далее снижается к антрацитам.

Средний диаметр  $L_a$  кристаллитов АУ существенно (в 1,5–2,4 раза) превышает величины  $L_a$  исходных углей и с ростом СМ меняется по кривой с минимумом для углей с  $C^{\text{daf}}=80\text{--}82\%$ , то есть KOH не препятствует росту поликарбоновых слоев вследствие термоинициируемых реакций конденсации.

Сделан вывод, что при образовании АУ формируются надмолекулярные структурные фрагменты, включающие «протяженные» поликарбоновые (графеновые) слои. Они агрегированы по 2–4 слоя в пространственно разупорядоченные кристаллиты и связаны макромолекулярными цепями в трехмерный пористый каркас.

Ключевые слова: уголь, щелочная активация, активированный уголь, надмолекулярная структура, кристаллиты, поликарбоновые фрагменты, конденсация, графеновые слои, межслоевые расстояния.

**DOI: 10.31081/1681-309X-2019-0-4-4-11**

\*\*\*\*\*

Цель работы – исследование влияния степени метаморфизма (СМ) угля на изменения их надмолекулярной структуры в ходе превращения в активированные угли при активации гидроксидом калия. Критерием СМ выбрано содержание углерода, варьируемое в интервале  $C^{\text{daf}}=70,4\text{--}95,6\%$ .

\*Автор для корреспонденции

Нагревание ископаемых углей с гидроксидом калия (щелочная активация) ведет к образованию летучих органических соединений и твердого продукта – активированного угля (АУ) вследствие деструкции и термоинициируемых реакций с КОН [1].

Если применять большие массовые соотношения КОН/уголь ( $R_{\text{КОН}}$ ), то образуется АУ с развитой пористой структурой и высокой удельной поверхностью ( $S, \text{ м}^2/\text{г}$ ). Например, из бурого угля получается АУ с  $S=3036 \text{ м}^2/\text{г}$  при  $R_{\text{КОН}}=4 \text{ г}/\text{г}$  [2], из угля средней степени метаморфизма ( $C^{\text{daf}}=84.5 \%$ ) образуется АУ с  $S=2600 \text{ м}^2/\text{г}$  при  $R_{\text{КОН}}=4 \text{ г}/\text{г}$  [3], из антрацитов – материалы с  $S=2550-2900 \text{ м}^2/\text{г}$  при  $R_{\text{КОН}}=5-7 \text{ г}/\text{г}$  [4].

В тех же условиях активации подобные характеристики АУ также достигаются при использовании других видов исходных веществ: кокса ( $S=2875-3950 \text{ м}^2/\text{г}$  [5]), биомассы ( $S=1500-3560 \text{ м}^2/\text{г}$  [6]), полимеров ( $4547 \text{ м}^2/\text{г}$  [7]), графена ( $S=3100 \text{ м}^2/\text{г}$  [8]). То есть, фиксируются практические предельные значения удельной поверхности и пористости АУ, что также можно считать предельной степенью активируемости исходного вещества при взаимодействии с КОН. В этих условиях различия в используемых исходных материалах нивелируются и практически невозможно количественно оценить влияние их структуры на свойства образующихся АУ.

Кроме того, активация при столь больших значениях  $R_{\text{КОН}}$  технологически сложна и экологически неприемлема из-за потенциально высокой токсической нагрузки на окружающую среду. По этим причинам наши исследования ориентированы на разработку процесса термощелочной конверсии ископаемых углей в высокопористые материалы при относительно небольших соотношениях КОН/уголь ( $R_{\text{КОН}} = 1 \text{ г}/\text{г}$ ).

#### Экспериментальная часть

В работе использованы образцы ископаемых углей разной степени метаморфизма (СМ): бурый уголь (БУ), длиннопламенный (Д), газовые (Г), жирный (Ж), коксовые (К), отощенный спекающиеся (ОС), тощий (Т) и антрациты (А). Критерием СМ выбрано содержание углерода  $C^{\text{daf}}$ , значения которого охватывают широкий интервал  $C^{\text{daf}}=70.4-95.6 \%$ . Индексы угольных образцов и их подробная характеристика приведена в работе [9].

Получение АУ осуществляли в условиях термопрограммируемой щелочной активации, включающей следующие стадии: 1) импрегнирование сухого угля водным раствором КОН ( $R_{\text{КОН}}=1.0 \text{ г}/\text{г}$ ) с последующей сушкой ( $120 \pm 10^\circ\text{C}, \geq 2 \text{ ч}$ ), 2) программируемое (4 град/мин) нагревание образца (~40 г) в атмосфере аргона до  $800^\circ\text{C}$  и выдержка 1 ч, 3) охлаждение, отмыка от КОН, сушка [10]. Аналогичным образом получали твердые продукты термолиза (ТПТ) без щелочи. Экспериментально определенная погрешность определения выходов АУ ( $Y_{\text{AU}}$ ) и ТПТ ( $Y_{\text{TPT}}$ ) составляла ~1 %.

Удельную площадь поверхности ( $S, \text{ м}^2/\text{г}$ ) АУ определяли на основании изотерм низкотемпературной (77 K) адсорбции – десорбции азота, зарегистрированных прибором

Micromeritics ASAP 2020. Перед измерениями образцы дегазировали 20 ч при  $200^\circ\text{C}$ . Значения  $S$  для образцов ТПТ определены одноточечным методом БЭТ [11].

Надмолекулярную структуру исходных углей и АУ из них изучали методом РФА [3, 12]: дифрактометр Bruker D8, излучение CuKa (30 кВ, 50 мА), шаг сканирования 0.019 град при времени накопления 20 с/шаг. Исходную дифрактограмму преобразовывали вычитанием фона, описываемого экспоненциальной зависимостью  $I=A+B\cdot\exp(-C\theta)$ , где  $I$  – интенсивность (отн. ед.),  $\theta$  – угол (град);  $A, B, C$  – константы, определяемые по начальному и конечному участкам дифракционной кривой. Отражение от углеродного пространственного каркаса отделяли от рефлексов минеральных компонентов интерполяцией [12]. Дифрактограмму разделяли деконволюцией на гаусснаны (рис. 1), описывающие  $\gamma$ -полосу ( $2\theta=16-18^\circ$ ), основной рефлекс (002), который относится к межслоевому расстоянию  $d_{002}$  в кристаллитах, а также рефлекс (100). Гаусснаны выбраны аппроксимирующими функциями, исходя из следующего. Структура кристаллитов является следствием одновременного воздействия множества независимых факторов (как минимум факторов диагенеза, метаморфизма, щелочной обработки, термохимических твердофазных процессов) [13, 14] и для описания распределения их размеров наиболее применимо уравнение Гаусса.

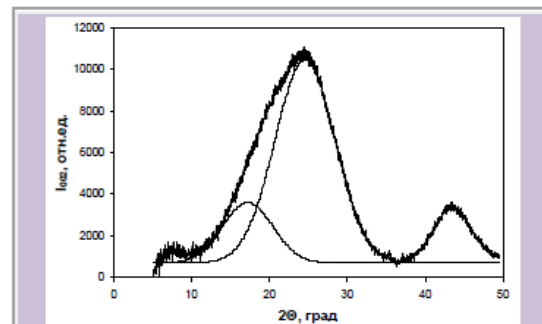


Рис. 1 Деконволюция дифрактограммы АУ из угля Д после вычитания линии фона

Из дифрактограмм определяли характеристики угольных кристаллитов – пакетов нескольких полиареновых (графеновых) слоев с примерно графитовой упаковкой. Вычисляли следующие параметры: межслоевое расстояние в кристаллитах  $d_{002}$ , высоту  $L_c$ , средний диаметр  $L_a$  и объем кристаллита  $V_{ip}$ , интенсивность  $I_{002}$  (отн. ед.) рефлекса (002), а также число полиареновых слоев  $N=(L_c/d_{002})+1$ . Величину  $d_{002}$  находили по формуле Брэгга  $d_{002}=\lambda/2\sin\theta_{002}$ , величину  $L_c$  определяли по формуле Шеррера  $L_c=0.9\lambda/\beta_{002}\cos\theta_{002}$  [12], величину  $L_a$  по формуле Уоррена  $L_a=1.84\lambda/\beta_{100}\cos\theta_{100}$  [15], где  $\theta_{002}$  и  $\theta_{100}$  – угловое положение рефлексов (002) и (100), соответственно;  $\beta_{002}$  и  $\beta_{100}$  – ширина (в радианах) на половине высоты рефлексов (002) и (100), соответственно. Экспе-

риментально определенные погрешности составляют  $\pm 0,004$  нм ( $d_{002}$ ),  $\pm 0,006$  нм ( $L_c$ ),  $\pm 0,02$  нм ( $L_a$ ),  $\pm 0,05$  нм<sup>3</sup> ( $V_{sp}$ ),  $\pm 0,3$  (N<sub>sp</sub>). Структурные параметры исходного угля обозначены как X(Y), активированного угля – X(AY), где  $X = d_{002}, L_c, L_a, V_{sp}, N_{sp}, I_{002}$ .

#### Результаты и обсуждение

Выход ТПТ, полученных нагреванием без KOH, увеличивается с ростом СМ угля (табл. 1, рис. 2) и описывается линейной корреляционной зависимостью  $Y_{TPT} = 2,04 \cdot C^{daf} - 101,3$  ( $R^2=0,987$ ). Выход АУ меньше для всех угольных образцов, но также линейно возрастает при переходе от бурого угля к антрацитам и описывается уравнением  $Y_{AY} = 2,00 \cdot C^{daf} - 112,3$  ( $R^2=0,973$ ). Разность выходов  $\Delta Y = Y_{TPT} - Y_{AY}$  варьируется в относительно узких пределах  $\Delta Y = 11,2\text{--}19,8\%$  (средняя – 14,4 %) и обусловлена дополнительным образованием летучих органических продуктов вследствие термиицируемых реакций KOH со структурными фрагментами угольного каркаса [16].

В случае термолиза бурого угля ( $C^{daf}=70,4\%$ ), выход ТПТ в 1,5 раза превышает выход АУ и такое превышение для других углей с увеличением СМ проявляет тенденцию снижаться (до 1,15 у антрацита с  $C^{daf}=95,6\%$ ).

Величина удельной поверхности ТПТ снижается в ряду метаморфизма исходных углей с 132 м<sup>2</sup>/г (БУ) до 4 м<sup>2</sup>/г у антрацитового ТПТ (табл. 1). Зависимость  $S_{TPT}$  от  $C^{daf}$  удовлетворительно описывается экспоненциальной зависимостью  $1,6 \cdot 10^6 \exp(-0,13 \cdot C^{daf})$  при  $R^2=0,970$ . Следует подчеркнуть, что удельная поверхность заметно развивается только у буроватых ТПТ. Это может быть следствием «самоактивации» (self-activation [17]) угля, когда

роль порообразующего агента выполняют газообразные продукты термолиза, а именно H<sub>2</sub>O, CO и CO<sub>2</sub>. Кроме того, при водной и солянокислотной обработке ТПТ на заключительной стадии вымываются микрокластеры минеральных компонентов, распределенные в пространственном каркасе угля, а на их месте формируются микропоры.

Удельная поверхность остальных образцов ТПТ значительно меньше (в 4–33 раза) и варьируется в диапазоне 4–32 м<sup>2</sup>/г, что характерно для мелкодисперсных порошков. Удельная поверхность АУ развита значительно лучше (табл. 1) и для всех образцов (кроме антрацитового АУ) превышает 1000 м<sup>2</sup>/г. С ростом СМ исходного угля величина S возрастает в ряду от бурого угля к каменным, а затем снижается к антрациту. Для АУ, полученных из углей в диапазоне  $C^{daf} = 80,0\text{--}86,4\%$ , характерны наибольшие значения  $S=1345\text{--}1547$  м<sup>2</sup>/г, которые можно считать одинаковыми в пределах ошибок измерений.

Надмолекулярное строение АУ (табл. 2) существенно отличается от исходных углей, что видно из сопоставления соответствующих структурных характеристик.

Межслоевое расстояние  $d_{002}$  в кристаллитах углей (рис. 3, линия 1) снижается с увеличением содержания углерода: от  $d_{002}=0,453$  нм у бурого угля до  $d_{002}=0,388$  нм у антрацита A<sub>5</sub>. То есть, с ростом СМ проявляется известная закономерность приближения кристаллитов угля к графитовой структуре ( $d_{002}=0,335$  нм) [11]. Для всех образцов АУ величина  $d_{002}$  существенно выше (рис. 3, линия 2) и зависимость  $d_{002} - C^{daf}$  имеет несколько иной вид. В области  $C^{daf}=80\text{--}90\%$  проявляется плато и межслоевое расстояние варьируется в узких пределах ( $d_{002}=0,430\pm 0,006$  нм).

Таблица 1

Выходы ТПТ и АУ и их удельная поверхность из углей разной степени метаморфизма

Марка угля	$C^{daf}, \%$	ТПТ		АУ	
		$Y_{TPT}, \%$	$S_{TPT}, \text{м}^2/\text{г}$	$Y_{AY}, \%$	$S_{AY}, \text{м}^2/\text{г}$
БУ	70,4	44,2	132	29,5	1142
Д	80,0	62,4	28	49,8	1547
Г <sub>1</sub>	81,0	63,3	32	49,5	1488
Г <sub>2</sub>	83,5	69,1	15	54,6	1345
Ж	85,0	69,7	16	55,1	1486
К <sub>1</sub>	86,4	73,5	12	60,2	1354
К <sub>2</sub>	88,6	79,9	14	60,8	1142
ОС <sub>1</sub>	89,4	80,9	10	65,5	1195
ОС <sub>2</sub>	90,0	80,4	н/д	67,9	н/д
ОС <sub>3</sub>	90,8	82,8	9	70,3	1009
Т	91,2	85,6	6	74,4	1083
А <sub>1</sub>	94,6	93,0	н/д	75,2	н/д
А <sub>4</sub>	95,2	91,7	н/д	77,0	н/д
А <sub>5</sub>	95,6	95,6	4	82,8	323

Примечание: н/д – нет данных

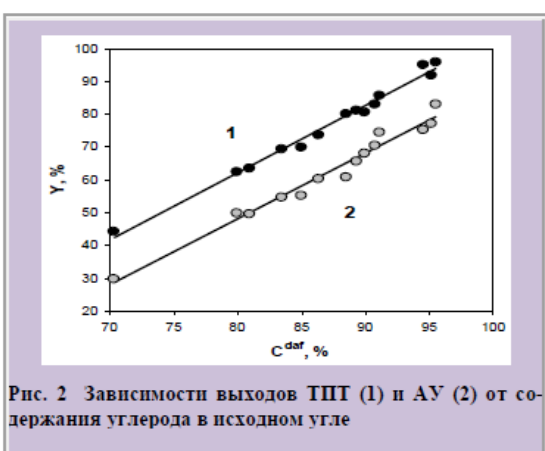


Рис. 2 Зависимости выходов ТПГ (1) и АУ (2) от содержания углерода в исходном угле

В интервале  $C^{daf} = 90,0\text{--}95,6\%$  наблюдается резкое снижение величины  $d_{002}$  образцов АУ, тогда как у исходных углей этот параметр почти не меняется. Видим, что в условиях щелочной активации (как совместного действия тепла и КОН) формируются кристаллиты АУ, которые более пространственно разупорядочены по сравнению с кристаллитами исходных углей. Следует подчеркнуть, что при нагревании угля без химических реагентов кристаллиты обычно упорядочиваются, а поскольку мы имеем об-

ратный эффект, то его можно отнести за счет реакций со щелочью.

Степень пространственного разупорядочения при трансформации угля в АУ можно оценить параметром  $\Delta d_{002} = [d_{002}(\text{AY}) - d_{002}(\text{У})] / d_{002}(\text{AY})$ , представляющим собой отношение разности межслоевых расстояний АУ и угля к величине  $d_{002}$  исходного угля. Этот параметр зависит от СМ сложным образом (рис. 3, линия 3). При переходе от бурого угля к каменным наблюдается снижение величины  $\Delta d_{002}$ . Для исходных углей с  $C^{daf} = 80\text{--}90\%$  указанный параметр возрастает, а затем (с увеличением  $C^{daf}$ ) снижается к антрацитам. Видно, что максимальный эффект разупорядочения кристаллитов щелочью оказывается на АУ из отощено спекающихся углей. В углехимии известны экстремальные зависимости различных свойств угля от его СМ, которые обусловлены структурной реорганизацией угольного каркаса в ходе углефикации.

Установлено [11], что агрегированные в надмолекулярные образования кристаллиты проходят через следующие последовательные состояния:

- кристаллиты, пространственно не упорядоченные и фиксируемые ковалентными связями в сетчатый полимер (угли низкой СМ);
- глобулы с наиболее совершенной глобуллярной структурой у углей с  $C^{daf} = 89\text{--}91\%$ ;
- фибриллы с максимальной степенью фибриллярной организации у антрацитов ( $C^{daf} \sim 96\%$ ).

Можно предполагать, что именно такие структурные

Таблица 2

Параметры надмолекулярной структуры активированных углей, полученных термопрограммируемой щелочной активацией (4 град/мин,  $R_{\text{КОН}} = 1,0\text{ г/т}, 800^\circ\text{C}$ )

Марка угля	Структурные параметры АУ					
	$d_{002}$ , нм	$L_c$ , нм	$L_a$ , нм	$V_{\text{шп}}$ , нм <sup>3</sup>	N	$I_{002}$ , отн. ед.
БУ	0,453	0,753	3,47	7,12	2,66	13800
Д	0,430	0,701	2,54	3,55	2,63	6600
Г <sub>1</sub>	0,435	0,672	2,72	3,89	2,54	9800
Г <sub>2</sub>	0,428	0,709	2,92	4,75	2,66	11500
Ж	0,431	0,758	2,81	4,70	2,76	10100
К <sub>1</sub>	0,436	0,751	3,19	6,00	2,72	11600
К <sub>2</sub>	0,434	0,777	3,18	6,17	2,79	12400
ОС <sub>1</sub>	0,425	0,783	3,28	6,61	2,84	15400
ОС <sub>2</sub>	0,424	0,801	3,43	7,40	2,89	11700
ОС <sub>3</sub>	0,416	0,850	3,18	6,75	3,04	13000
Т	0,415	0,792	3,36	7,02	2,91	10900
А <sub>1</sub>	0,406	0,980	4,01	12,37	3,41	15400
А <sub>4</sub>	0,392	1,137	4,68	19,55	3,90	18200
А <sub>5</sub>	0,388	1,129	4,60	18,75	3,91	20200

изменения ответственны за обнаруженную экстремальную зависимость степени разупорядочения  $\Delta d_{002}$  от степени метаморфизма угля.

Высота  $L_c$  кристаллитов исходных углей монотонно увеличивается с ростом СМ (рис. 4, линия 1). Характер зависимости  $L_c$  от  $C^{daf}$  иной: наблюдается снижение  $L_c$

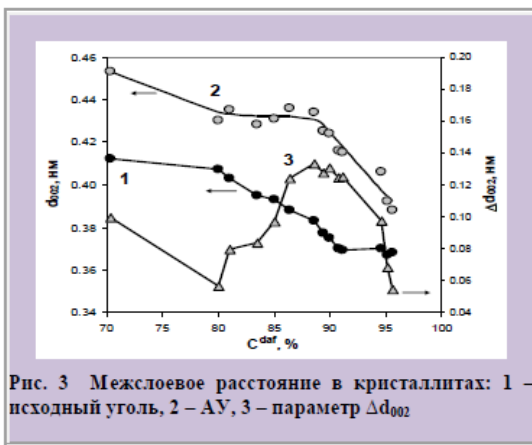


Рис. 3 Межслоевое расстояние в кристаллитах: 1 – исходный уголь, 2 – АУ, 3 – параметр  $\Delta d_{002}$

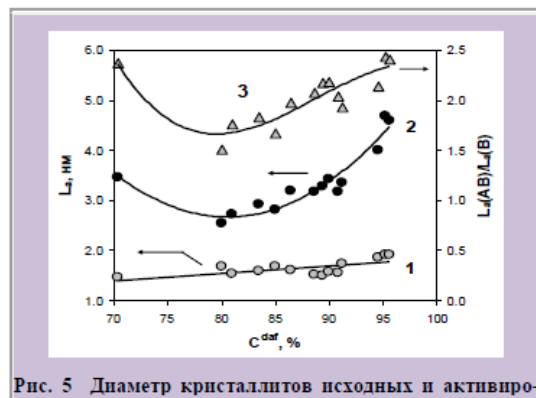


Рис. 5 Диаметр кристаллитов исходных и активированных углей: 1 – исходные угли, 2 – АУ, 3 – соотношение  $L_a(AU)/L_a(Y)$

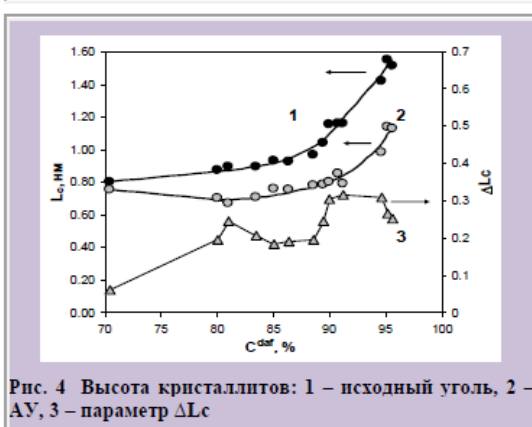


Рис. 4 Высота кристаллита: 1 – исходный уголь, 2 – АУ, 3 – параметр  $\Delta L_c$

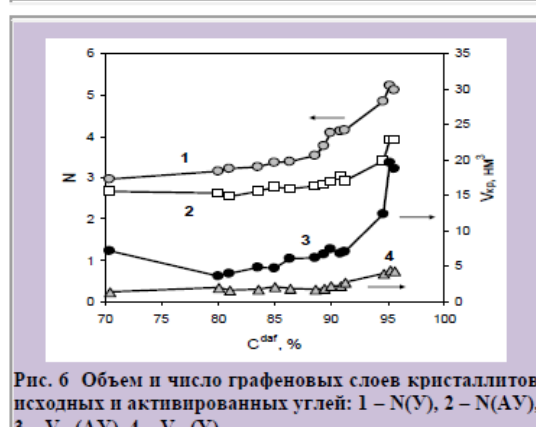


Рис. 6 Объем и число графеновых слоев кристаллита: 1 –  $N(Y)$ , 2 –  $N(AU)$ , 3 –  $V_{ip}(AU)$ , 4 –  $V_{ip}(Y)$

в интервале  $C^{daf} = 70\text{--}83\%$  с последующим ростом при переходе к антрацитам (рис. 4, линия 2). По изменению высоты  $L_c$  также можно количественно оценить степень структурного разупорядочения с помощью параметра  $\Delta L_c = [L_c(Y) - L_c(AU)] / L_c(Y)$ . С ростом СМ он изменяется сложным образом (рис. 4, линия 3): величина  $\Delta L_c$  возрастает при переходе от бурого к каменным углем, мало меняется для углей с  $C^{daf} = 80\text{--}88\%$ , возрастает до максимума при  $C^{daf} = 90\text{--}95\%$  и далее снижается к антрацитам. Величины  $L_c$  для всех АУ меньше (хотя межслоевое расстояние выше), что свидетельствует о снижении среднего числа полиареновых слоев в кристаллитах.

Средняя толщина полиаренового слоя  $L_a$  в кристаллитах исходных углей почти линейно увеличивается от 1,46 нм у бурого угля до 1,92 нм у антрацита с ростом значений  $C^{daf}$  (рис. 5, линия 1). Величина  $L_a$  для кристаллитов АУ существенно выше во всем диапазоне СМ (рис. 5, линия 2) и с ростом  $C^{daf}$  меняется по кривой с минимумом для ископаемых углей с  $C^{daf} = 80\text{--}82\%$ .

Увеличение значений  $L_a$  при трансформации углей в АУ определяется соотношением  $L_a(AU)/L_a(Y)$  и передается зависимостью 3 на рис. 5. Максимальные значения этого отношения характерны для бурого угля (2,38) и антрацитов (2,41–2,44) с  $C^{daf} \geq 95\%$ , минимальные – для каменных углей с  $C^{daf} = 80\text{--}85\%$ , которые при щелочной активации образуют АУ с максимальной удельной поверхностью (табл. 1). Видим, что КОН не препятствует росту линейных размеров полиареновых слоев вследствие термоинициируемых реакций конденсации.

Зависимость  $V_{ip}$  от  $C^{daf}$  качественно повторяет зависимость  $L_a$  от  $C^{daf}$  (рис. 5, линия 2), так что определяющим фактором увеличения объема кристаллита АУ являются реакции конденсации.

Среднее число  $N$  полиареновых слоев в кристаллитах АУ варьируется в пределах  $N=2\text{--}4$  и меньше, чем у исходных углей (рис. 6), что и следовало ожидать, исходя из характера изменений параметров  $d_{002}$  и  $L_c$  (рис. 3, 4).

**Выводы**

1. В условиях термопрограммируемой (4 град/мин до 800 °C) активации бурого и каменных углей с KOH (1 г/т угля) образуются активированные угли (АУ) с удельной поверхностью  $S=1009\text{--}1547 \text{ м}^2/\text{г}$ . Антрацит образует менее пористый материал с  $S=323 \text{ м}^2/\text{г}$ .

2. При превращении угля в АУ межслоевое расстояние в кристаллитах растет (на 5-13 %), а высота кристаллитов уменьшается (на 6-32%) вследствие того, что KOH затрудняет надмолекулярное структурирование. Эффект экстремально зависит от СМ и максимальен у углей с  $C^{\text{daf}}=90\pm1\%$ .

3. Средний диаметр  $L_a$  кристаллитов АУ существенно (в 1,5-2,4 раза) превышает величины  $L_a$  исходных углей и с ростом СМ меняется по кривой с минимумом для углей с  $C^{\text{daf}}=80\text{--}82\%$ . Гидроксид KOH не препятствует росту полипиленовых слоев вследствие термоинициируемых реакций конденсации.

4. При образовании АУ формируются надмолекулярные структурные фрагменты, включающие «протяженные» полипиленовые (графеновые) слои. Они агрегированы по 2-4 слоя в пространственно разупорядоченные кристаллиты и связаны макромолекулярными цепями в трехмерный пористый каркас.

**Библиографический список**

1. *Novel Carbon Adsorbents* / Ed. J.M.D.Tascon. – Amsterdam: Elsevier, 2012. – 686 p.
2. *Xing B.L. Lignite-derived high surface area mesoporous activated carbons for electrochemical capacitors* / B.L. Xing, H. Guo, L.J. Chen, Z.F. Chen, C.X. Zhang, G.X. Huang, W. Xie, J.L. Yu // *Fuel Processing Technology*. – 2015. – Vol. 138. – P. 734-742. DOI: <https://doi.org/10.1016/j.fuproc.2015.07.017>
3. *Yoshizawa N. XRD evaluation of KOH activation process and influence of coal rank* / N. Yoshizawa, K. Maruyama, Y. Yamada, E. Ishikawa, M. Kobayashi, Y. Toda, M. Shiraiishi // *Fuel*. – 2002. – Vol. 81. – Is. 13. – P. 1717-1722. DOI: [https://doi.org/10.1016/S0016-2361\(02\)00101-1](https://doi.org/10.1016/S0016-2361(02)00101-1)
4. *Mikova N.M. Study of high porous carbons prepared by the alkaline activation of anthracites* / N.M. Mikova, N.V. Chesnokov, B.N. Kuznetsov // *Journal of Siberian Federal University. Chemistry*. – 2009. – Vol. 2. – Is. 1. – P. 3-10. DOI: <http://elib.sfu-kras.ru/handle/2311/1303>
5. *Mochizuki T. Adsorption behaviors of ammonia and hydrogen sulfide on activated carbon prepared from petroleum coke by KOH chemical activation* / T. Mochizuki, M. Kubota, H. Matsuda, L.F. D'Elia Camacho // *Fuel Processing Technology*. – 2016. – Vol. 144. – P. 164-169. DOI: <https://doi.org/10.1016/j.fuproc.2015.12.012>
6. *Wei L. Nanostructured activated carbons from natural precursors for electrical double layer capacitors* / L. Wei, G. Yushin // *Nano Energy*. – 2012. – Vol. 1. – Is. 4. – P. 552-565. DOI: <http://dx.doi.org/10.1016/j.nanoen.2012.09.008>
7. *Tiwari D. Development of chemically activated N-enriched carbon adsorbents from urea-formaldehyde resin for CO<sub>2</sub> adsorption: Kinetics, isotherm, and thermodynamics* / D. Tiwari, H. Bhunia, P.K. Bajpai // *Journal of Environmental Management*. – 2018. – Vol. 218. – P. 579-592. DOI: <https://doi.org/10.1016/j.jenvman.2018.04.088>
8. *Zhu Y. Carbon-based supercapacitors produced by activation of graphene* / Y. Zhu, S. Murali, M.D. Stoller, K.J. Ganesh, W. Cai, P.J. Ferreira, A. Pirkle, R.M. Wallace, K.A. Cybrosz, M. Thommes, D. Su, E.A. Stach, R.S. Ruoff // *Science*. – 2011. – Vol. 332. – Is. 6037. – P. 1537-1541. DOI: <https://doi.org/10.1126/science.1200770>
9. Кучеренко В.А. Реорганизация структуры каменных углей при импрегнировании гидроксидом калия / В.А. Кучеренко, Ю.В. Тамаркина, И.Б. Фролова, М.И. Чернышова; В.А. Саберова // Углемеханический журнал. – 2017. – № 1-2. – С. 10-17.
10. Кучеренко В.А. Влияние гидроксида калия на структуру и развитие поверхности бурого угля при щелочной активации / В.А. Кучеренко, Ю.В. Тамаркина, Г.Ф. Раенко // Хімія, фізика та технологія поверхні. – 2017. – Т. 8. – № 2. – С. 133-142. DOI: [10.15407/hftp08.02.133](https://doi.org/10.15407/hftp08.02.133)
11. Саранчук В.И., Русчеб Д., Семененко В.К., Галушко Л.Я., Маркова К., Пашченко Л.В., Темерова Г.П. Окисление и самовозгорание твердого топлива. – К.: Наукова думка, 1994. – 263 с.
12. Li M. Aggregate structure evolution of low-rank coals during pyrolysis by in-situ X-ray diffraction / M. Li, F. Zeng, H. Chang, B. Xu, W. Wang // *International Journal of Coal Geology*. – 2013. – Vol. 116-117. – P. 262-269. DOI: <https://doi.org/10.1016/j.coal.2013.07.008>
13. Marsh H. *Activated carbon* / H. Marsh, F. Rodriguez-Reinoso. – Amsterdam: Elsevier, 2006. – 542 p.
14. Саранчук В.И. Надмолекулярная организация, структура и свойства угля / В.И. Саранчук, А.Т. Айруни, К.Е. Ковалев. – К.: Наукова думка, 1988. – 190 с.
15. Warren B.E. *X-Ray diffraction in random layer lattices* / B.E. Warren // *Phys. Rev.*. – 1941. – Vol. 59. – Is. 9. – P. 693-698. DOI: <https://doi.org/10.1103/PhysRev.59.693>
16. Тамаркина Ю.В. Щелочная активация углей и углеродных материалов / Ю.В. Тамаркина, В.А. Кучеренко, Т.Г. Шендрік // Хімія твердого топлива. – 2014. – № 3. – С. 40-48. DOI: <https://doi.org/10.3103/S0361521914040119>
17. Bommier C. *Self-activation of cellulose: a new preparation methodology for activated carbon electrodes in electrochemical capacitors* / C. Bommier, R. Xu, W. Wang, X. Wang, D. Wen, J. Lu, X. Ji // *Nano Energy*. – 2015. – Vol. 13. – P. 709-717. DOI: <https://doi.org/10.1016/j.nanoen.2015.03.022>

Рукопись поступила в редакцию 03.04.2019



## CHANGE OF COALS SUPRAMOLECULAR STRUCTURE DURING ACTIVATION BY POTASSIUM HYDROXIDE

© Ju.V. Tamarkina, PhD in chemical sciences, V.O. Sabierova, R.D. Mysyk, PhD in chemical sciences, V.A. Kucherenko, Doctor of Chemical Sciences (L.M. Litvinenko Institute of Physical-Organic Chemistry and Coal Chemistry)

*The aim of the work is to study the effect of coal rank (CR) on changes in coal supramolecular structure during transformation into activated carbons (ACs) under potassium hydroxide activation. The main criterion selected is the carbon content being varied in the interval  $C^{dft}=70,4-95,6\%$ .*

*Alkaline treatment of coal was performed by impregnation with the same ratio of KOH/coal (1 g/g). ACs were prepared in argon atmosphere by thermoprogrammed heating (4 deg/min) to 800 °C, isothermal exposure for 1 h, cooling, washing from alkali and drying. The yields (29,5-82,8 %) and the specific surface area of ACs (323-1547 m<sup>2</sup>/g) were determined. Diffractograms (Bruker D8 diffractometer) of initial coal and ACs were obtained. They were deconvoluted into Gaussians corresponding to the  $\gamma$ -band and (002) and (100) reflexes.*

*The following parameters of the supramolecular structure of aggregates of intraframework polyarene fragments (crystallites) were determined: the interlayer distance  $d_{002}$ , height  $L_c$ , diameter  $L_a$ , volume  $V_{cr}$ , number of polyarene layers  $N=(L_c/d_{002})+1$  and intensity  $I_{002}$  of the (002) reflection. By comparing these characteristics for coal and ACs, changes in the supramolecular structure during alkaline activation are estimated.*

*It has been established that during the conversion of coals to ACs, the distance  $d_{002}$  in crystallites increases (by 5-13), and the height of crystallites  $L_c$  decreases (by 6-32) due to the fact that KOH makes the supramolecular structuring complex. For ACs, the  $d_{002}$  dependence on  $C^{dft}$  shows a plateau with  $C^{dft}=80-90\%$  ( $d_{002}=0,430\pm0,006$  nm) and a sharp decrease in the region of  $C^{dft}=90,0-95,6\%$ .*

*The dependence of  $L_c$  on  $C^{dft}$  is characterized by the  $L_c$  decrease in the range of  $C^{dft}=70-83\%$  and a subsequent increase in the transition to anthracite. Under conditions of alkaline activation (combined action of heat and KOH), ACs crystallites are more spatially disordered in comparison with coals crystallites. When transforming coals into ACs, the disordering degree was proposed to estimate by the parameter  $\Delta d_{002}$  – the ratio of the difference between the interlayer distances of the AC and coal to the  $d_{002}$  value of coal. It is extremely dependent on CR: it decreases on going from lignite to bituminous coal (with  $C^{dft}$  growth from 70 to 80 %), increases to a maximum for coal with  $C^{dft}=90\pm1\%$  and then decreases to anthracite. The average diameter  $L_a$  of ACs crystallites significantly (15-2,4 times) exceeds the  $L_a$  values of coals. The  $L_a$  values of ACs changes along a curve with a minimum for coals with  $C^{dft}=80-82\%$ .*

*Hydroxide KOH does not prevent the growth of polyarene layers due to thermally initiated condensation reactions. It was concluded that during the ACs formation, supramolecular structural fragments are formed and include "extended" polyarene (graphene) layers. They are aggregated in 2-4 layers into spatially disordered crystallites and are connected by macromolecular chains into a three-dimensional porous framework.*

Keywords: coal, alkaline activation, activated carbon, supramolecular structure, crystallites, polyarene fragments, condensation, graphene layers, interlayer distances.

## ЗМІНА НАДМОЛЕКУЛЯРНОЇ СТРУКТУРИ ВИКОПНОГО ВУГІЛЛЯ ПРИ АКТИВАЦІЇ ГІДРОКСИДОМ КАЛІЮ

© Ю.В. Тамаркіна, к.х.н., В.О. Сабєрова, Р.Д. Мисик, к.х.н., В.О. Кучеренко, д.х.н. (ІнФОВ НАНУ)

*Мета роботи – дослідження впливу ступеню метаморфізму (СМ) вугілля на зміни його надмолекулярної структури протягом перетворення на активоване вугілля (АВ) при активації гідроксидом калію. Критерієм СМ обрано вміст вуглецю, який вартоється в інтервалі  $C^{dft}=70,4-95,6\%$ .*

*Для їхньої обробки вугілля виконували імпрегнуванням при однаковому співвідношенні KOH/вугілля (1 г/г). АВ отримано в атмосфері аргона термопрограмованим нагріванням (4 град/хв) до 800 °C, ізотермічною витримкою 1 год, охолодженням, відмиванням від лугу та сушкою. Визначено викиди (29,5-82,8 %) і величини питомої поверхні АВ (323-1547 м<sup>2</sup>/г). Отримано дифрактограми (дифрактометр Bruker D8) вихідного вугілля та АВ. Вони розділені деконволюцією на гаусіани, котрі відповідають  $\gamma$ -смузі та рефлексам (002) і (100). Визначено параметри надмолекулярної будови агрегатів внутрішньокарбасних поліаренових фрагментів – кристалітів: міжсловою відстань  $d_{002}$ , висоту  $L_c$ , діаметр  $L_a$  об'єм  $V_{cr}$ , число поліаренових шарів  $N=(L_c/d_{002})+1$  та інтенсивність  $I_{002}$  рефлекса (002). Співставленням цих характеристик для вугілля та АВ оцінено зміни надмолекулярної структури при дужній активації.*

*Встановлено, що при перетворенні вугілля на АВ відстань  $d_{002}$  в кристалітах зростає (на 5-13 %), а висота кристалітів  $L_c$  зменшується (на 6-32 %) внаслідок того, що KOH утруднює надмолекулярне структурування. Для АВ залежність  $d_{002}$  від  $C^{dft}$  показує плато при  $C^{dft}=80-90\%$  ( $d_{002}=0,430\pm0,006$  нм) і різке зниження в області  $C^{dft}=90,0-95,6\%$  %. Залежність  $L_c$  от  $C^{dft}$  характеризується зниженням  $L_c$  в інтервалі  $C^{dft}=70-83\%$  та наступним зростанням при переході до антрациту. В умовах дужнії активації (сумісної дії тепла та KOH) формуються кристаліти АВ, які є*

більш просторово розупорядкованими порівняно з кристалітами бусялля. Ступінь розупорядкування при трансформації бусялля в АВ запропоновано оцінювати параметром  $\Delta d_{002}$  – відношенням різності міжшарових відстаней АВ і бусялля до величини  $d_{002}$  бусялля. Він екстремально залежить від СМ: знижується при переході від бурого бусялля до кам'яного (з ростом СМ від 70 до 80 %), збільшується до максимуму у бусялля з СМ = 90±1 % і далі знижується до антрацитів.

Середній діаметр  $L_a$  кристалітів АВ суттєво (у 1,5–2,4 рази) перевищує величину  $L_a$  відідного бусялля та з зростом СМ змінюється за кривою з мінімумом для бусялля з СМ = 80–82 %, тобто КОН не перешкоджає росту поліаренових шарів внаслідок термоініціюваних реакцій конденсації. Зроблено висновок, що при утворенні АВ формуються надмолекулярні структурні фрагменти, які включають «видовжени» поліаренові (графенові) шари. Вони агреговані по 2–4 шари в просторово розупорядковані кристаліти і зв'язані матромолекулярними ланцюгами у тривимірний порува-тій каркас.

**Ключові слова:** вугілля, лужна активація, активоване вугілля, надмолекулярна структура, кристаліти, поліаренові фрагменти, конденсація, графенові шари, міжшарові відстані.

Спеціальність: 161. УДК 662.741.3

## ПОЛУЧЕНИЕ ВЫСОКОКАЧЕСТВЕННОГО КОКСА ИЗ ШИХТ С ПОВЫШЕННЫМ УЧАСТИЕМ ГАЗОВЫХ УГЛЕЙ С ПРИМЕНЕНИЕМ МЕТОДА ЧАСТИЧНОГО БРИКЕТИРОВАНИЯ ШИХТЫ.

**Сообщение 1. Изучение возможности использования в качестве связующих для брикетирования углеводородных продуктов коксохимического производства**

© \*А.Л. Борисенко<sup>1</sup>, И.Д. Дроздник<sup>2</sup>, Н.А. Десна<sup>3</sup>, Ю.С. Кафтан<sup>4</sup>, Я.С. Балаева<sup>5</sup>

Государственное предприятие «Украинский государственный научно-исследовательский углехимический институт (УХИН)» б1023, г. Харьков, ул. Веснина,7, Украина

<sup>1</sup>Борисенко Александр Людовикович, канд. техн. наук, с.н.с., зам. директора по научной работе и управлению системы качества исследований, e-mail: [zd@ukhim.org.ua](mailto:zd@ukhim.org.ua)

<sup>2</sup>Дроздник Игорь Давыдович, канд. техн. наук, с.н.с., зав. угольным отделом (УО), e-mail: [yo@ukhim.org.ua](mailto:yo@ukhim.org.ua)

<sup>3</sup>Десна Наталья Анатольевна, канд. техн. наук, зам. зав. УО, e-mail: [desnana@ukr.net](mailto:desnana@ukr.net)

<sup>4</sup>Кафтан Юрий Степанович, канд. техн. наук, с.н.с., ведущий научн. сотр. УО, e-mail: [yo@ukhim.org.ua](mailto:yo@ukhim.org.ua)

<sup>5</sup>Балаева Яна Сергеевна, канд. техн. наук, научн. сотр. УО, e-mail: [ys.balaeva@gmail.com](mailto:ys.balaeva@gmail.com)

Получение брикетов проводили на базе производственной угольной шихты, в которой последовательно заменяли 5 и 10 % углей марок К и ОС на такое же количество газовых углей. Таким образом, содержание газовых углей в обоих вариантах опытных шихт составило 30 и 35 % соответственно.

В качестве связующих для брикетирования были использованы отсевы каменноугольного пека, каменноугольная смола, смолы и масла установки биохимической очистки, кислая смолка цеха улавливания, а также их смеси в различном соотношении. Наряду с оценкой технологических и химических свойств была дана оценка состояния и физических свойств углеводородных продуктов, использованных в качестве добавок. Даны рекомендации по предварительной подготовке добавок перед подачей в шихту для брикетирования.

Были разработаны следующие варианты добавок к брикетируемой части шихты и определено количество таких добавок: отсев пека, фузы (80 %) + смола каменноугольная (20 %), кислая смолка (50 %) + смола каменноугольная (50 %) и кислая смолка (20 %) + смолы и масла установки биохимической очистки (80 %), фузы (30 %) + кислая смолка (20 %) + смола каменноугольная (50 %). Отсев пека подавался в шихту в количестве 3%, а все остальные добавки в количестве 5 %. Брикетированию подвергали 20 % опытных шихт. Давление прессования в лабораторном прессе равнялось 20 МПа. Плотность брикетов составляла 1019 кг/м<sup>3</sup>. Наиболее прочные брикеты были получены при использовании в качестве связующего смеси фузов и каменноугольной смолы. Количество целых брикетов после двухкратного сбрасывания с высоты 1,5 м составило 89,6 %. Показано, что использованные углеводородные добавки в отдельных случаях изменяют технологические свойства частично брикетированных шихт, но не настолько, чтобы изменить свойства, получаемого из них кокса. Показано, что получение достаточно прочных брикетов возможно в принятых условиях брикетирования ( $P = 20$  МПа) при использовании в качестве связующего смеси кислой смолы и фузов с каменноугольной смолой. Смолы и масла биохимической установки менее эффективны как связующее по

\*Автор для корреспонденции

